

# 随动系統譯文集

北京工学院編譯



國防工業出版社

83

8

# 隨動系統譯文集

北京工学院編譯



圖書編譯部

## 內容簡介

本文集系根据苏联“自动学及运动学”杂志，自动調整原理第五卷等书籍中有关隨动系統設計与計算的文章翻譯而成。这一集內容包括自動控制及調節系統中常用的液壓及氣動元件——節流控制的液壓功率放大器、液壓及氣壓校正元件、節流裝置——的工作原理及設計計算方法。非綫性自動調節理論，以及利用非綫性速度反饋來提高隨動系統工作質量等五篇文章。在這些文章中，除介紹工作原理及設計計算方法外，還列舉了實驗研究結果。

本書可供高等學校自動控制專業教師、高年級學生以及從事自動控制及調節系統設計與製造的工程技術人員參考。

國防工業出版社 出版

北京市書刊出版業營業許可證出字第 074 号  
機械工業出版社印刷廠印刷 新華書店發行

850×1168 1/32 印張 3 6/16 70 千字

1960 年 4 月第一版

1960 年 4 月北京第一次印刷

印數：0,001—6,500 冊 定價：(11-8) 0.56 元

NO: 322

## 目 录

液压自动系统中节流阻力的液压损失系数的确定	5
节流控制的液压放大器	14
液压及气动校正元件	29
位置随动系统非线性速度反馈特性曲线的选择	55
大差异非线性系统的线性化	74

试读结束，需要全本PDF请购买 [www.ertongbook.com](http://www.ertongbook.com)

# 液压自动系統中节流阻力的 液压损失系数的确定

И. Н. 基 钦

本文以实验研究结果为基础，叙述套筒式和层片式节流装置液压损失系数的求法。

为了限制各种液压系统，其中包括液压调速器的液流，常应用节流器，它的结构简图见于图 I-1。

我们常可遇到这种情况，节流器几何尺寸同液流状态配合适宜时，工作液通过节流孔形成层流。这时，节流孔入口的形状起很大作用。

通常适用于已形成层流或紊流的公式，不能再用来计算这种节流器。不过下面将要谈到，在我们所研究的未形成层流的情况下，仍可利用通用的威斯巴赫(Вейсбах)公式

$$\Delta P = k \frac{v_{\text{exp}}^2}{2g} \gamma, \quad (1)$$

式中  $k$  —— 总的液压损失系数，它同时考虑了局部阻力和摩擦损失。这时，只要用一定形式给出公式中  $k$  值就行了。

$k$  值可表示为参数  $l / l_n$  的单值关系，其中  $l$  —— 节流器工作孔的长度， $l_n$  —— 层流开始段的长度，它等于  $0.05 d \text{Re}$  [1]，所以

$$\frac{l}{l_n} = \frac{l}{0.05 d \text{Re}}, \quad (2)$$

其中  $Re$ ——节流孔中液流的雷諾数,  $d$ ——节流孔直径。

曾經對 27 個节流器进行过試驗, 它們的几何参数列于表 1 中[3]。

表 1

节流孔編號	$d$ , 厘米	$l$ , 厘米	$l/d$	节流孔編號	$d$ , 厘米	$l$ , 厘米	$l/d$
1	0.12	0.08	0.66	18	0.04	2.0	50
2	0.12	0.36	2.8	24	0.04	4.0	100
3	0.10	0.08	0.8	14	0.035	0.09	2.57
4	0.10	0.29	2.9	19	0.035	1.0	28.5
5	0.08	0.03	0.37	23	0.035	2.0	58
6	0.08	0.192	2.4	25	0.035	4.0	114
7	0.075	0.018	2.4	16	0.03	0.083	2.67
8	0.06	0.03	0.5	17	0.03	0.5	16.5
9	0.06	0.15	2.5	22	0.03	1.0	33.3
10	0.06	0.5	8.0	26	0.03	2.0	67
12	0.06	1.0	16.1	20	0.02	0.06	3.0
15	0.06	2.0	32.2	21	0.02	0.5	25
11	0.05	0.13	2.6	27	0.02	1.0	50
13	0.04	0.1	2.5				

試驗时采用变压器油, 其运动粘度  $\nu = 27 \times 10^{-2}$  斯, 比重  $\gamma = 0.876$  克/厘米<sup>3</sup>。試驗過程中节流孔內的压力差在 0 到 2.0 公斤/厘米<sup>2</sup> 范圍內以 0.2 公斤/厘米<sup>2</sup> 的間隔变化。流量隨节流器前后压力差的变化特性曲綫画于图 I-1 和 II-2 中, 图上横座标表压力差, 纵座标表体积流量。曾經根据公式(1)和(2)(式中  $v_{cp} = \frac{4Q}{\pi d^2}$  和  $Re = \frac{v_{cp} \cdot d}{\nu}$ )对于上述散射状特性曲綫的六十个点計算过  $k$  和  $l/l_n$  值。图 I-3 中曲綫 1 即是求得的关系  $k = f(l/l_n)$ , 对于所有試驗的节流器在选定的工作規范下这是唯一的曲綫。

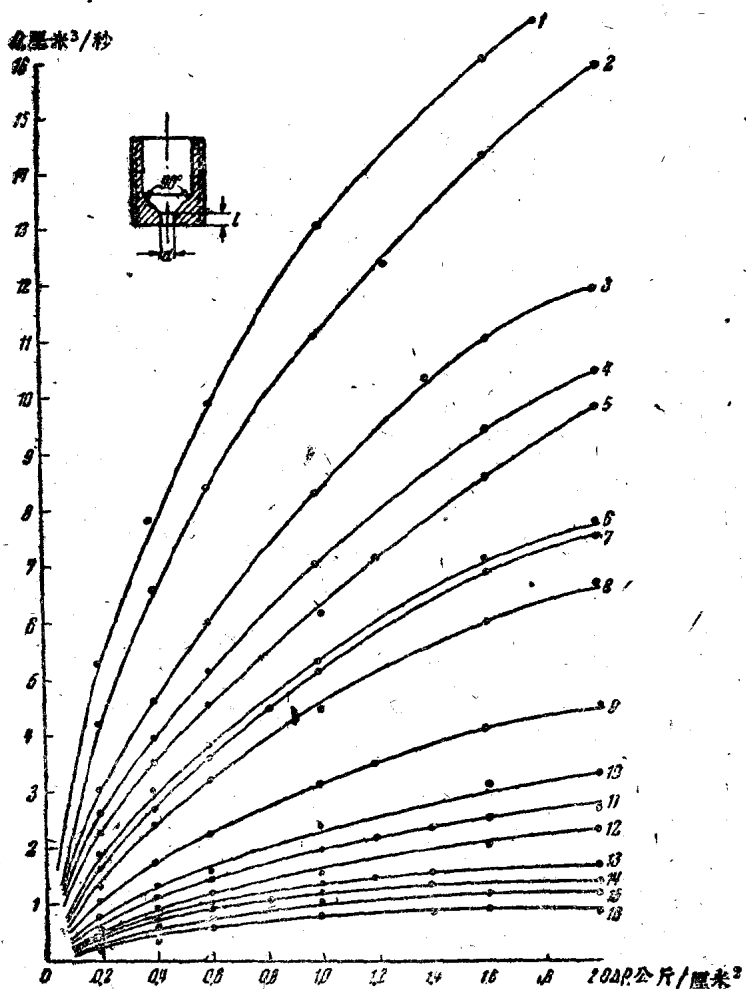


图 I-1

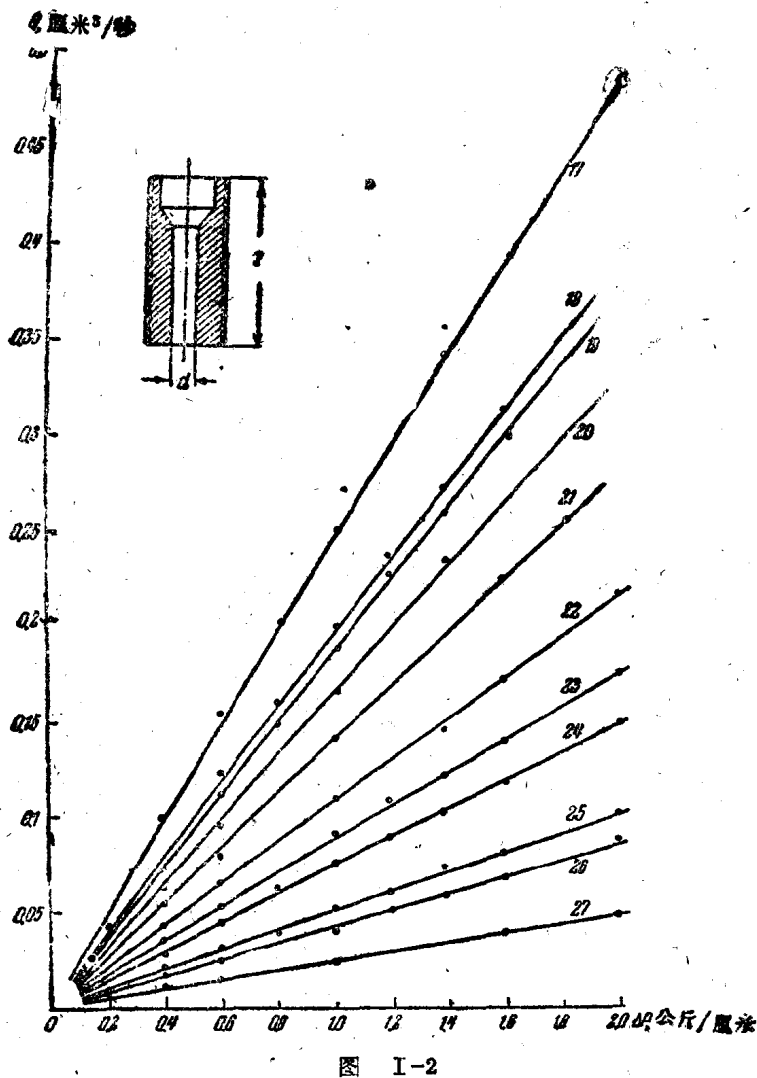


图 I-2

液压损失系数  $k$  包括了由  $k_1$  表示的局部损失和  $k_2$  表示的摩擦损失。我們根据按照西列尔——布西涅斯克(Шиллер-Буссинеск) 的理論計算的資料 [2]，建立  $k_1$  对  $l/l_n$  的关系(图 3 中曲綫 6 和 7 )。

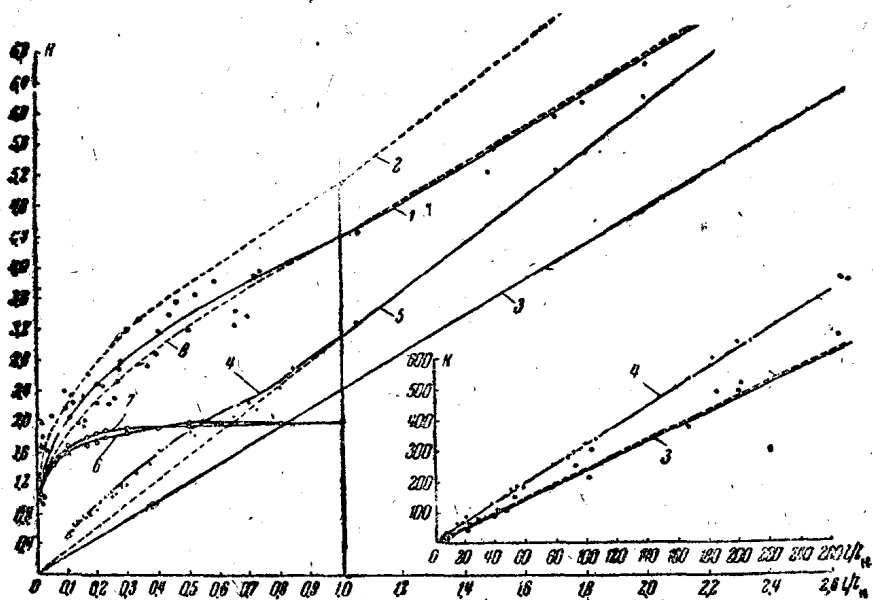


图 I-3

为了求  $k_2$ ，我們取下面的規律

$$k_2 = \frac{48}{Re} \cdot \frac{l}{d},$$

它得自  $l/d > 16$  的节流孔的實驗結果。在這一条件下，与摩擦损失相比，局部损失甚小(曲綫 3)。将用上述方法計算得的  $k_1$  和  $k_2$  加起来，得出曲綫 8。这时在起始区域( $0 < \frac{l}{l_n} < 1$ )，曲綫 8 与曲綫 1 很接近，而在已形成层流的区域( $\frac{l}{l_n} > 1$ )，二者重合在一起。如果为了求  $k_2$  取下述規律

$$k_2 = \frac{A}{Re} \cdot \frac{l}{d},$$

式中系数  $A$ , 在层流区域按照巴烏捷尔(Паузель)定律等于 64, 而在起始区域系数  $A$  是  $l/l_n$  的函数 (根据参考书 [2] 的資料), 它大于 64 ( $k_2$  的两条相应曲线在图 I-3 中以号码 5 和 4 标出), 則把求得的  $k_2$  和  $k_1$  (曲线 6 或 7) 相加得到曲线 2。按这条曲线总的液压损失系数平均超过前面计算的值 (曲线 1) 25%。

我們舉一个例子, 来說明图 I-3 中的特性曲线 1 的利用。已知节流孔  $d = 0.06$  厘米,  $l = 0.5$  厘米; 給定流量  $Q = 2.5$  厘米<sup>3</sup>/秒, 工作液运动粘度  $\nu = 0.3$  斯, 比重  $\gamma = 0.876$  克/厘米<sup>3</sup>。試求节流孔中的压力差。得到

$$l_n = 0.05 d Re = \frac{0.2Q}{\pi \nu} = 0.568 \text{ 厘米};$$

$$l/l_n = 0.855.$$

由曲线求得  $k = 4.05$ ; 公式 (1) 中取  $v_{cp} = \frac{4Q}{\pi d^2}$  我們即可求出  $\Delta P = 1.36$  公斤/厘米<sup>2</sup>。

上述曲线還可用来計算所謂层片式节流器(图 4), 它由一連串带节流孔的相同薄片組成。在这种場合下, 每个节流阻力片的液压损失与它的总数  $n$  无关, 仍旧是  $l/l_n$  的函数。当节流片之間各区段的阻力都相同时, 节流器每一部分节流阻力的計算的总液压损失应增加一个附加损失量, 它是由于液流在节流片間区段上轉折、摩擦等等所引起的。

层片式节流器一个节流阻力的合成液压损失可由公式 (1) 求得, 式中  $\Delta P$ —一个节流阻力前后的压力差。对于全部节流片來說, 液压损失等于单个节流片 (节流阻力) 损失的总和。

Q 厘米<sup>3</sup>/秒

120

100

80

60

40

20

0

N<sub>2</sub>

N<sub>2</sub>

N<sub>2</sub>

N<sub>2</sub>

N<sub>2</sub>

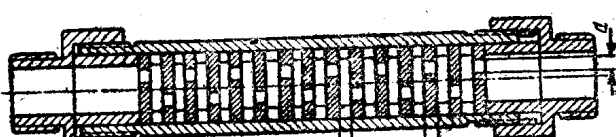


图 I-4

$p=2 \text{ 公斤}/\text{秒}^2$   
 $v=N_2$   
 $p=1 \text{ 公斤}/\text{秒}^2$   
 $p=0.5 \text{ 公斤}/\text{秒}^2$   
 $p=0.25 \text{ 公斤}/\text{秒}^2$   
 $p=0.125 \text{ 公斤}/\text{秒}^2$

$p=1 \text{ 公斤}/\text{厘米}^2$

$N_2$

曾經試驗了五個層片式節流器，它們的幾何參數列于表 2 [3]。

表 2

參 數	節 流 器 編 号					
	1	2	3	4	5	6
$d$ , 厘米	0.06	0.06	0.08	0.1	0.06	0.12
$l$ , 厘米	0.03	0.15	0.03	0.08	0.08	0.08
$L$ , 厘米	0.05	0.2	0.05	0.08	0.08	0.08
$n$	100	80	100	50	40	40

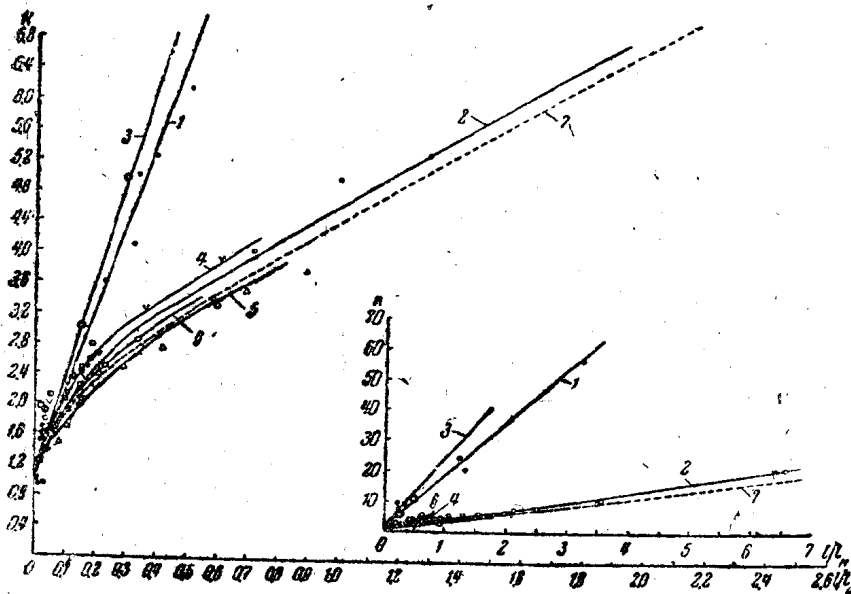


图 1-5

試驗時采用變壓器油 ( $\nu = 27 \times 10^{-2}$  斯,  $\gamma = 0.876$  克/厘米<sup>3</sup>)。當節流器前后的壓力差分別等於2.0~2.2, 1.0~1.1和0.5公斤/厘米<sup>2</sup>時, 流量對節流阻力(層片)數目的變化特性曲線示於圖I-4。

對於所有層片式節流器, 曾經用公式(1)和(2)求過一個液壓阻力在各種試驗規範下的 $k$ 和 $l/l_n$ 值。得出的各點示於圖5上。每個幾何尺寸已定的層片式節流器(№2, 4, 5和6), 無論節流阻力(層片)的數目是多少, 在所有工作規範下都得出一致的曲線(對應于2, 4, 5和6); 它與曲線7(相當於圖I-3的曲線1)很接近。曲線1和3(對應著節流器1和3的節流片)相對曲線7的偏差決定於節流器中節流片間孔道長度 $L$ 的縮短所引起的附加摩擦損失。

### 參考書目

1. Прандтль Л., Титенс О. Гидро-и аэромеханика.ОНТИ, 1935.
2. Френкель Н. З. Гидравлика. Энергоиздат, 1947.
3. Шапков А. Г. Экспериментальное и теоретическое исследование дросселирующих органов и гидравлического реле типа «сопло-заслонка», работающего на масле. Диссертация ИАТ АН СССР, 1955.

(李亨标注譯自《Автоматика и телемеханика》1957. №1)

## 节流控制的液压放大器

B. A. 霍赫洛夫

本文是对应用在电气液压随动系统和自动调节系统中的一些节流控制液压功率放大器所进行的一篇比较性的概述。它是根据发表在苏联和国外的期刊上和在苏联科学院自动学与远距离控制研究所（ИАТ АН СССР）进行研究的成果综合而成的。

### 引言

近来电气液压系统已经在自动调节和控制工程方面得到了广泛地运用。这种系统之所以获得成效，在很大程度上是由于采用了液压功率放大器。通常把这种在输入信号的功率放大同时又能使滑阀或其它液压执行机构控制装置发生位移作用的液压装置称为液压放大器。应用这种液压放大器可保证信号从电子管或磁放大器到液压执行机构输出的方向相同。液压放大器的检波性质表现在：作用在滑阀上的力（其中也包括在工作棱边上的液流反作用力）对用来控制液压放大器的功率较小的电气机械转换器和力矩马达不会有严重的影响。

与其它各种功率放大器相比较，液压放大器的优点是：动态性能高，可靠，结构的简单且紧凑，尺寸很小而输出功

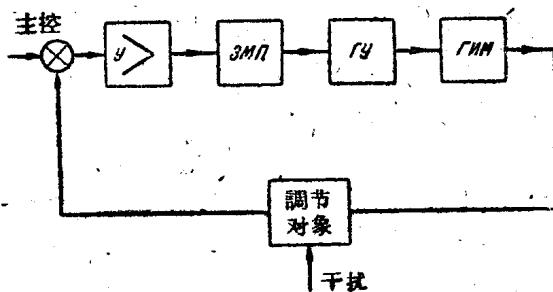


图 II-1 电气液压调节系统的典型结构图。Y—电子管放大器或磁放大器；ЭМП—电气机械轉換器；ГУ—液压放大器；ГИМ—液压执行机构。

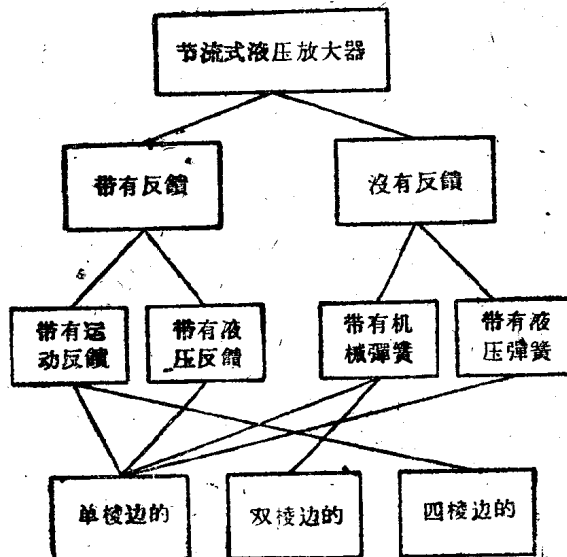


图 II-2

率巨大等等。

图 II-1 所示系带有液压放大器的电气液压调节系统的典型结构图。

在調節工程方面經常得到应用的有二种液压放大器型式——节流控制式和射流控制式。第一种放大器型式由于结构简单和动态性能高，所以应用較广。节流式液压放大器的分类列于图II-2。

### 1 带有反馈的液压放大器

**单梭边液压放大器** 图II-3 a 上所表示的是带有反馈的单梭边液压放大器原理图，这种放大器已经在西門子 (Siemens) 公司的电气液压自动驾驶仪的一个变体中应用。液压放大器的主要零件有：控制針閥 1，膜片 2，滑閥杆 3，柱塞 4 和节流套管 5。我們看看它的作用原理。压力为 $P_0$ 的油进入辅助室 7，同时经过节流套管 5 进入工作室 8。油从工作室经过工作窗口 6 流到溢流腔。在沒有液体固定管道的辅助

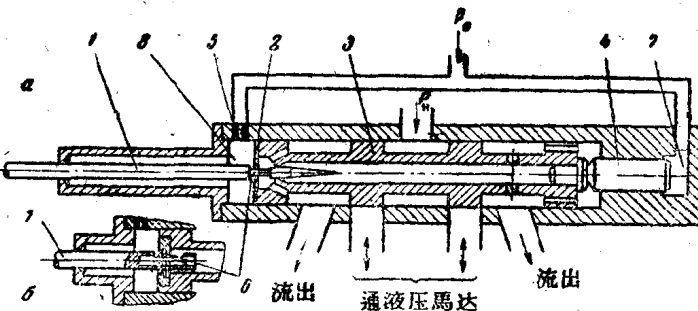


图 II-3 西門子 (Siemens) 公司的液压放大器： $P_H$ —压油管道之压力； $P_0$ —液压放大器之供油压力。

室 7 内的压力保持始終不变，等于 $P_0$ 。而在工作室的压力則由在节流套管 5 和工作窗口 6 处的液压损失之間的关系来决定。因此，作用在滑閥杆上有二个力：左边是工作室的油压在滑閥端面上所产生的力，而右边是輔助室液体工作压力在